

Co-P<sub>2</sub>

*1954*  
VI-555  
 $[\text{Ni}(\text{P}_2\text{O}_7)]^{2-}$ ,  $[\text{Co}(\text{P}_2\text{O}_7)]^{2-}$  (np)

Vaid J., Ramachar T.L.

Current Sci., 1954, 23, N12, 393-97.

Pyrophosphate complexes of nickel and cobalt.

RX., 1956, N15, 46654, Ja

EST/F.
EOTB Q. R.

VI-914 1956

Co<sub>2</sub>P<sub>2</sub>O<sub>7</sub> (П.р)

Филинов Ф.М., Буданова В.Ф.

Ж.неорган.химии, 1956, I, №8, 1915-25.

Изучение растворимости пирофосфата кобальта в воде, соляной, серной кислотах и растворах пирофосфата натрия..

Est/F.

Есть ф.к.

RX., 1957, 37156 Ja

Co - ортофосфор

Bsp - 2251-III

1957

Thilo E; Grunze J.

"Z. Anorg. allg. Chem."

1957, 290, 209-222.

$\text{Ni}_2\text{P}_4\text{O}_{12}$ ,  $\text{Co}_2\text{P}_4\text{O}_{12}$ ,  $\text{Fe}_2\text{P}_4\text{O}_{12}$ ,  $\text{Mn}_2\text{P}_4\text{O}_{12}$   $\tilde{\vee} 353:5$

$\text{Cu}_2\text{P}_4\text{O}_{12}$  ( $T_m$ )

1957

Shiloh Co., Grundee L.

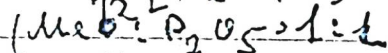
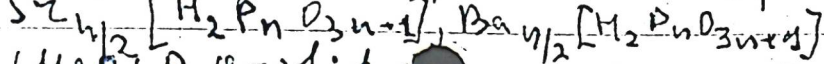
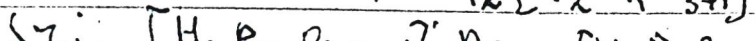
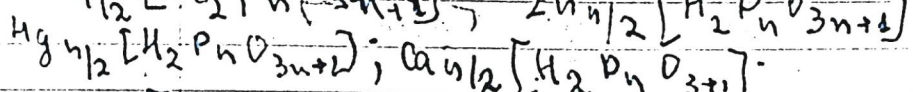
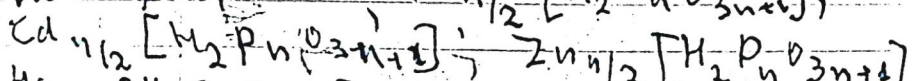
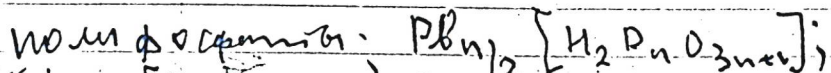
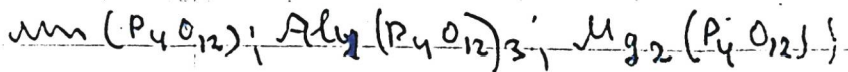
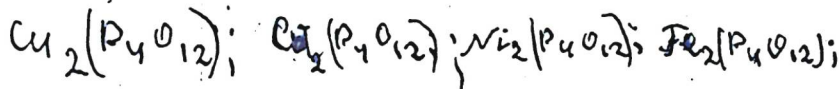
S. Anorgan. und allg. Chem. 1957, 353, 220

L. 906, 209-222, 223-237

Zur Chemie der kondensierten Phosphate und Arsenate. IV. Produktion und Verlauf der Intrabasierung saurer Phosphate des zweiwertigen Ionen des  $\text{Al}$ ,  $\text{Ca}$ ,  $\text{Pb}$ ,  $\text{Co}$ ,  $\text{Mn}$ ,  $\text{Cu}$ ,  $\text{Zn}$ ,  $\text{Cd}$ ,  $\text{Hg}$ . IV. Die sich durch therm. Intrabasierung an frischer atmosphärisch bildenden kondensierten Phosphate des zweiwertigen Ionen des  $\text{Ca}$ ,  $\text{Mn}$ ,  $\text{Ba}$ ,  $\text{Pb}$ ,  $\text{Al}$ ,  $\text{Co}$ ,  $\text{Cr}$ ,  $\text{Mg}$ ,  $\text{Fe}$ ,  $\text{Zn}$ ,  $\text{Cd}$ ,  $\text{Hg}$ .

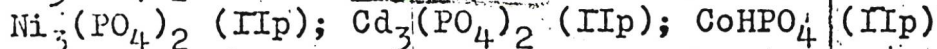
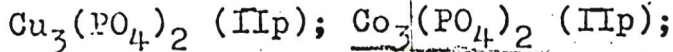
1958, 11, 15, 49003

519



V 1352

1961



Чуклачев В. З., Амировская Н. В.

Изв. вузов. учебн. заведений, химия и хим. тех-  
нолог., 1961, 4, № 5, 706-9

Изучение растворимости фосфатов церия,  
cobальта, никеля и гафния.

PJX., 1962, 205374  
Ja.

Est. origin.

$\text{Co}(\text{NO})(\text{PF}_3)_3$

(Tm; Tb)

B90-U289-IV | 1964

Kruck Th  
Lang W.

P-787.

1968

VI-3960

HCo(PF<sub>3</sub>)<sub>4</sub> (Tb, Tm), W(PF<sub>3</sub>)<sub>6</sub>(Tm)

Kruck Th., Lang W., Engelmann A.

Angew. Chem., 1965, 77, N3, 132.

Metalltrifluorphosphin-Komplexe. VI. Synthese  
von Tetrakis (trifluorphoshin)kobalthydrid  
und Hexakis(trifluorphosphin)=wolfram(0)

RX., 1966, 3B180

Be

Est/orig.

VI 3524

1965

M<sub>4</sub>(PF<sub>3</sub>)<sub>4</sub>, where M = Co, Rh, Ir  
(Jahresber.)

Kruick Th., Lang W.,

Angew. Chemie, 1965, 77, 860-861

Б

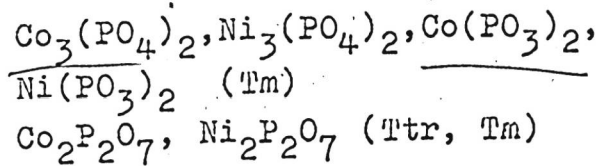


лес г. к

Co - P - racens. Luneckas A. 1965  
Lietuvos T.S.R. Mokslin  
Acaad. Darbai, Ser. B,  
1965, NY, 97-103

(Co. Ni - P - racens.) I

1966



Bop VI-4503

Sarver J.F.

Trans. Brit. Ceram. Soc., 1966, 65, N4, 191-98.

Compound formation and phase-equilibrium  
relationships in the systems  $\text{CoO-P}_2\text{O}_5$  and  
 $\text{NiO-P}_2\text{O}_5$ .

RX., 1967, 15589      Be,

F

1967

 $\text{CoNH}_4(\text{PO}_3)_3$ 

18 Б484. Кристаллическая структура ромбической модификации метаfosфата кобальта — аммония:  
 $\text{CoNH}_4(\text{PO}_3)_3$ . Трапуи Дю Гренье Ж.-С., Гийель Ж.-С., Дюриф А. Structure cristalline de la variété orthorhombique du métaphosphate de cobalt — ammonium:  $\text{CoNH}_4(\text{PO}_3)_3$ . «Bull. Soc. franç. minéral. et cristallogr.», 1967, 90, № 2, 252—256 (франц.)

Проведено рентгенографич. исследование (метод Вейссенберга,  $\lambda$  Mo) ромбич. модификации  $\text{CoNH}_4(\text{PO}_3)_3$ . Параметры решетки не приводятся, ф. гр.  $Pca2$ , или  $Pbcm$ ,  $Z=4$ . Структура решена по проекции Паттерсона и электронной плотности и уточнена до  $R(hkl)=0,13$ . Основу структуры составляют

Структура

2 · 1968 · 18

бесконечные в направлении оси  $C$  цепочки из  $[\text{PO}_4]$ -тетраэдров, на период цепочки приходится шесть тетраэдров. Элементарную ячейку пересекают 2 цепочки. Полости между цепями занимают  $\text{Co}$  (коорд. ч. 6) и  $\text{NH}_4$ , последний располагается в более крупных пустотах. Межатомные расстояния: в  $\text{PO}_4$ -тетраэдрах  $\text{P}-\text{O}$   $1,49-1,64 \text{ \AA}$ ,  $\text{O}-\text{O}$   $2,41-2,67 \text{ \AA}$ , в  $\text{Co}$ -октаэдре  $\text{Co}-\text{O}$   $1,94-2,12 \text{ \AA}$ . Приведены параметры двух других модификаций  $\text{CoNH}_4(\text{PO}_3)_3$ : гексагон,  $a = 6,695$  с  $9,819 \text{ \AA}$ , изоструктурна с бенитоитом  $\text{BaTi}(\text{SiO}_3)_3$  и ромбоэдрическими цепями параллельно оси  $c$ ,  $a = 6,38 \text{ \AA}$ ,  $\alpha = 107^\circ 02'$   $Z=1$ .

З. В. Пудовкина

$\text{Fe}_3(\text{PO}_4)_2 \cdot 8\text{H}_2\text{O}$ ,  $\text{VI} 4.894$  (1967)  
 $\text{Co}_3(\text{PO}_4)_2 \cdot 8\text{H}_2\text{O}$ ,  $\text{Ni}_3(\text{PO}_4)_2 \cdot 8\text{H}_2\text{O}$  ( $\text{Pm}$ )

Тюлекеева Т.Э., Амирова С.А., Берковский В.Д.  
и др., Высш. Учебн. Завед., Науч.-техн. Бюлл.,  
1967, 10(8), 898-901.

3

Химическая Конференция  
металлов, изображающих  
сплавы. Никель при темпе-  
ратуре 1968, № 6, 26325м  
5 (1)

$\text{M}_2\text{P}_4\text{O}_{12}$ ; Me = Ni, Mg, Zn; VI 5550  
Mn, Co, Mn 1968

Bouchard M., Grenier J.-C.,  
Mater. Res. Bull., 1968, 3, 643-48  
Grenier et al. Photographic prints

+ 4 b. f.  
M CP

PX 1969, 65525

БР 5932-ЛТ 1968

Mn(PF<sub>3</sub>)<sub>4</sub>

12 В135. Трифторфосфиновые комплексы металлов.  
XXIII. Получение и реакции тетракис-(трифторфосфин)-  
металлгидридов на основе кобальта, родия и иридия.  
Kruck Thomas, Lang Winfried, Detlef Nag-  
bert, Stadler Martin. Über Metalltrifluorphosphin-  
Komplexe. XXIII. Darstellung und Reaktionen der Tetra-  
kis(trifluorphosphin)-metallhydride von Kobalt, Rhodium  
und Iridium. «Chem. Ber.», 1968, 101, № 11, 3816—3826.  
(нем.)

T<sub>m</sub>

Взаимодействием MX<sub>2</sub>, где X=Cl, Br или J, с H<sub>2</sub> и  
PF<sub>3</sub> при 170—240° и давл. 30—300 атм в присутствии  
Cu-порошка с последующей конденсацией при т-ре  
жидк. воздуха получены HM(PF<sub>3</sub>)<sub>4</sub>, где M=Co(I),  
Ir(II) и Rh(III). Ур-ние р-ции: MX<sub>n</sub>+4PF<sub>3</sub>+1/2H<sub>2</sub>+  
+nCu — HM(PF<sub>3</sub>)<sub>4</sub>+nCuX. Выход I при ис-

T<sub>b</sub>

2.1969.

12



+2



пользовании  $\text{CoCl}_2$  25%;  $\text{CoBr}_2$  88;  $\text{CoJ}_2$  100%; выход II 100; III 100%. I—III можно получить взаимодействием  $\text{K}[\text{M}(\text{PF}_3)_4]$  при  $-180^\circ$  с  $\text{H}_2\text{SO}_4$  или  $\text{H}_3\text{PO}_4$  с последующей дистилляцией (выход  $\sim 100\%$ ), а I также взаимодействием Co, и  $\text{H}_2$  при  $250^\circ/120 \text{ atm}$  с выходом 100%. I—III при  $\sim 20^\circ$  — жидк. в-ва с неприятным запахом. I—III р-римы в полярных, малор-римы в неполярных орг. р-рнталях и  $\text{H}_2\text{O}$ . В води. р-ре I—III — сильные к-ты. Т. пл. I  $-51$ ; II  $-39$  и III  $-40^\circ$ ; т. кип. I  $80/730$ ; II  $95/730$ ; III  $89^\circ/725$ . Т. разл. I  $250$ ; II  $245$ ; III  $140^\circ$ . I—III устойчивы к действию конц. р-ров к-т (кроме к-т — окислителей). К-ты — окислители и води. р-ры щелочей разлагают I—III. I—III реагируют с амальгамами щел. металлов и образуют  $\text{M}'[\text{M}(\text{PF}_3)_4]$ , где  $\text{M}'$  — щел. металл; с  $\text{CH}_2\text{N}_2$  в эфире I образует  $[\text{Et}_2\text{OMe}]$   
 $[\text{Co}(\text{PF}_3)_4]$  (IV) по р-ции  $\text{CH}_2\text{N}_2 + \text{HCo}(\text{PF}_3)_4 +$   
 $+ \text{Et}_2\text{O} \longrightarrow \text{N}_2 + \text{IV}$ . IV устойчив при  $0^\circ$ , при  $100^\circ$  разлагается с образованием  $\text{MeCo}'(\text{PF}_3)_4$ ,  $\text{EtCo}(\text{PF}_3)_4$  и эфиров. При взаимодействии I с  $\text{CH}_3\text{J}_3$  в пентане при  $0^\circ$  получен  $\text{JCo}(\text{PF}_3)_4$ . I реагирует также с  $\text{PPh}_3$  по р-ции  
 $\text{I} + \text{PPh}_3 \longrightarrow [\text{Ph}_3\text{PH}][\text{Co}(\text{PF}_3)_4](\text{V})$ . V разлагается при  $\sim 40^\circ$  с выделением  $\text{PF}_3$  и образованием  $\text{HCo}'(\text{PF}_3)_3\text{PPh}_3$ . При р-ции I с  $\text{Ph}_3\text{As}$  и  $\text{Ph}_3\text{Sb}$  образуются  $\text{HCo}'(\text{PF}_3)_3\text{LPh}_3$ , где L = Sb(VI) и As(VII). Выход VI 50; VII 40%. Т. пл. VI  $62$ ; VII  $83^\circ$ ; т. разл. VI  $100$ ; VII  $120^\circ$ . Сообщ. XXII см. РЖХим, 1969, 6B122.

М. Б. Варфоломеев

$D_0$ ;  $\delta H_f$  ( $HCo(CO)(PF_3)_3$ ); VII 5257

$HCo(PF_3)_4$ ;  $HCo(CO)_2(PF_3)_2$   
80718.4614;  $HCo(CO)_4$ ;  $HCo(CO_3)_2(PF_3)_2$   
Ch, C 40771

(1968)

Saalfeld F. E., McDowell M. V., Gondal.

Surinder K., MacDiarmid Alan G.

The mass spectra of trifluorophosphinecarbonylcobalt Hydrides.  $[^{21}P]$

"J. Amer. Chem. Soc.", 1968, 90, N 14,  
3684-3688 (англ.)

110

774 780 782

ВИНИТИ

VII  $M\text{e.}(\text{NH}_4)_2(\text{PO}_3)_4$ ,  $\text{Me} = \text{Cd, Co, Mn, Zn}$  1969

VII a, b, c

VII 6950

Averbach - Pouchot M.-Th., Dreyf A.

Mater. Res. Bull., 1969, 4, N°, 397-401

Données cristallographiques sur  
quatre polyphosphates du type  
 $M^{\text{II}}(\text{NH}_4)_2(\text{PO}_3)_4$ :  $M = \text{Cd, Co, Mn, Zn}$ .

P2, 65567 (1970) Me 10

HCo(PF<sub>3</sub>)<sub>3</sub> РН<sub>3</sub>

BP 6212-И

1969

18 В119. Гидридофосфин-тристрифторметилфосфин-кобальт (I+). Campbell J. M., Stone F. G. A. Hydridophosphintris(trifluorophosphin) kobalt (I). «Angew. Chem.», 1969, 81, № 3, 120 (нем.)

Взаимодействием смеси HCo(PF<sub>3</sub>)<sub>4</sub> с РН<sub>3</sub> в мол. отношении 1 : 2 (1 час) при УФ-облучении и дистилляцией в вакууме получены желтые кристаллы комплекса HCo(PF<sub>3</sub>)<sub>3</sub>РН<sub>3</sub> (I). Выход I 20%, т. пл. I 25°. I можно также получить взаимодействием HCo(PF<sub>3</sub>)<sub>3</sub>CO с РН<sub>3</sub>. Кристаллы I изучены методами масс-, ИК- и ЯМР-спектроскопии и произведено отнесение полос.

М. Б. Варфоломеев

T<sub>m</sub>

Х. 1969.

18

БР-VI- 6999

1969

фосфиты

Co

Кусл.

14 Б1324. Получение и исследование фосфитов.

XIX. Равновесие ассоциации в системе  $\text{Co}^{2+}$ — $\text{H}_3\text{PO}_3$ — $\text{H}_2\text{O}$  при  $25^\circ \text{C}$ . Ebert M., Eyseltova J. Herstellung und Untersuchung von Phosphiten. XIX. Assoziationsgleichgewicht im System  $\text{Co}^{2+}$ — $\text{H}_3\text{PO}_3$ — $\text{H}_2\text{O}$  bei  $25^\circ \text{C}$ . «Collect. Czechosl. Chem. Communis», 1969, 34, № 12, 3826—3834 (нем.)

При т-ре  $25^\circ$  и ионной силе 0,2 ( $\text{NaClO}_4$ ) методом потенциометрич. титрования в присутствии избытка ионов  $\text{Co}^{2+}$  исследовано равновесие между ионами  $\text{Co}^{2+}$  и фосфит-ионами в воде. р-рах  $5,10^{-2} M$   $\text{Co}(\text{ClO}_4)_2 + 5,10^{-3} M \text{ H}_3\text{PO}_3$  и  $10^{-2} M$   $\text{Co}(\text{ClO}_4)_2 + 5,10^{-3} M \text{ H}_3\text{PO}_3$ .

При расчете равновесия применялся статистич. анализ. Определены величины  $K_1 = [\text{Co}^{2+}][\text{H}_2\text{PO}_3^-]/[\text{CoH}_2\text{PO}_3^+] = 40 \pm 16$  и  $K_2 = [\text{Co}^{2+}][\text{HPO}_3^{2-}]/[\text{CoHPO}_3] = (9,5 \pm 8) \cdot 10^3$ . Сообщ. XVIII см. РЖХим, 1968, 15Б848. Т. Б. Еремеева

Х. 1970.

14

CoH<sub>2</sub>PO<sub>3</sub>  
=

CoHPO<sub>3</sub>

Kavecy.

BP - VI - 6999

1969

59751k Preparation and investigation of phosphites. XIX.  
Association equilibrium in the system  $\text{Co}^{2+}-\text{H}_3\text{PO}_3-\text{H}_2\text{O}$  at 25°.  
Ebert, Miroslaw; Eysseltova, Jitka (Univ. Karlova, Prague,  
Czech.). *Collect. Czech. Chem. Commun.* 1969, 34(12), 3826-34  
(Ger). The title equil. was studied by potentiometric measure-  
ment of pH in alkalimetric titrn. of  $\text{H}_3\text{PO}_3$  in the presence of  
excess of  $\text{Co}^{2+}$  cations in aq. solns. The measuring and calcg.  
procedures were based on a statistical anal. of errors. The  
following assoctn. consts. were detd.:  $K_1 = [\text{CoH}_2\text{PO}_3]/[\text{Co}]$ -  
 $[\text{H}_2\text{PO}_3] = 40 \pm 16$  and  $K_2 = [\text{CoHPO}_3]/[\text{Co}][\text{HPO}_3] = (9.5 \pm$   
 $8) \times 10^3$ .

E. Erdos

72.12

C.A. 1970:

00114.4015

ch

Б9Р 6804-И

40534

1969

Lincoln Stephen F., Jayne Jerrold, Hunt  
John P. The hydrolysis of phosphato-  
pentaamminecobalt(III) in aqueous so-  
lution. "Inorgan. Chem.", 1969, 8, N II,  
2267-2270 (англ.)

0021 пч

8 8

- 12

ВИНИТИ

B.P.-XVII - 151

1971

CoHPO<sub>2</sub>

CuH<sub>2</sub>PO<sub>2</sub>

Ketad.

93599e Hypophosphite complexes of cobalt(II) and copper(II). Mitrofanova, L. V.; Medvedkov, V. N.; Erofeev, B. V. (USSR). *Uch. Zap. Mosk. Gos. Pedagog. Inst. im. V. I. Lenina* 1971, No. 464, 120-9 (Russ). From Ref. Zh., Khim. 1971, Abstr. No. 21V147. The existence of the weak hypophosphite complexes CoH<sub>2</sub>PO<sub>2</sub> and CuH<sub>2</sub>PO<sub>2</sub> in CoSO<sub>4</sub>-NaH<sub>2</sub>PO<sub>2</sub> and CuCl-NaH<sub>2</sub>PO<sub>2</sub> aq. solns. was established. Stability consts. of the indicated complexes were detd. spectrophotometrically. The temp. dependence of the equil. const. was studied; from it the complex formation enthalpy was calcd.

(+1)



C. R. 1972

ff. IV

$\text{Co}_2\text{P}_2\text{O}_7$

1972

4 Б433. Кристаллическая структура дифосфата кобальта. Krishnamachari N., Calvo C. The crystal structure of cobalt diphosphate. «Acta crystallogr.», 1972, B28, № 9, 2883—2885 (англ.)

Методом дифрактометра изучены кристаллы  $\text{Co}_2\text{P}_2\text{O}_7$ , полученные из расплава ( $\lambda\text{Mo}$ , 1123 отражения, уточнение МНК с учетом индивидуальных анизотропных тривиальных факторов по  $R(hkl) = 0,056$ ). Параметры моноклин. решетки:  $a = 13,248$ ,  $b = 8,345$ ,  $c = 9,004 \text{ \AA}$ ,  $\beta = 104,6^\circ$ ,  $\rho$  (изм.) 3,595,  $Z = 8$ , ф. гр.  $B2_1/c$ . Структура почти идентична структуре  $\alpha\text{-Mg}_2\text{P}_2\text{O}_7$ . В группах  $[\text{P}_2\text{O}_7]^{4-}$  все концевые атомы О (кроме одного) связаны с 2 атомами Со и атомом Р и определяют максим. длину связи Р—О 1,600  $\text{\AA}$ . Оставшийся атом О связан с одним атомом

Крист.  
Структ.

Х. 1973. № 4.

Со и атомом Р и определяет миним. длину Р—О 1,499, Р—О (мостик.) 1,566 Å, угол РОР 142,6°. Межатомные расстояния: в  $\text{Co}_{(1)}$ -октаэдре Со—О 2,062—2,183 (ср. 2,116 Å), в  $\text{Co}_{(2)}$ -пятивершиннике Со—О 1,957—2,072 (ср. 2,059 Å); шестой ближайший атом О находится на расстоянии Со—О 3,398 Å. Аналогичное искажение М-полиэдров отмечается в др. низкот-рных пирофосфатах двухвалентных металлов (Mg, Zn, Ni) этого ряда (исключение  $\alpha\text{-Ni}_2\text{P}_2\text{O}_7$ ).

Н. Г. Баталиева

Со<sub>4</sub>HPO<sub>4</sub> · 1,5H<sub>2</sub>O XVI-1043 1882

18 Б751. Термическая дегидратация Со<sub>4</sub>HPO<sub>4</sub> · 1,5H<sub>2</sub>O.  
Маринова Л. А., Яглов В. Н., Новиков Г. И.  
В сб. «Исслед. в обл. неорганической технол.» (Ред. «Ж.  
прикл. химии»). Л., «Наука», 1972, 95—97

Тензиметрическим методом с помощью кварцевого  
мембранных нульманометра в равновесных статич.  
условиях изучена термич. дегидратация Со<sub>4</sub>HPO<sub>4</sub> · 1,5 H<sub>2</sub>O  
(I) в т-рном интервале 20—850°. Идентификация I,  
промежуточных и конечных продуктов р-ции, проведена  
методом рентгенофазового анализа. Расчет числа молей  
выделившейся H<sub>2</sub>O проведен по ур-нию Менделеева—  
Клапейрона. Дегидратация I идет ступенчато. При  
20—60° удаляется поверхн. адсорбц. H<sub>2</sub>O, в интервале  
60—170° — вся адсорбц. H<sub>2</sub>O в кол-ве 0,94 моля по от-

X. 1882. 18

ношению к кристаллизации  $\text{H}_2\text{O}$ . В интервале  $160-220^\circ$  выделяется 1,5 моля кристаллизации  $\text{H}_2\text{O}$ . При этом происходит разрушение кристаллической решетки I и образование рентгеноаморфной фазы (II). В интервале температур  $220-250^\circ$  II кристаллизуется. При  $250-290^\circ$  удаляется 0,5 моля к-тиой  $\text{H}_2\text{O}$  из  $\text{HPO}_4^-$ . В температурном интервале  $290-850^\circ$  существует  $\text{Co}_2\text{P}_2\text{O}_7$ . Приведены зависимости давления пара от температуры, которые в интервале температур  $160-220^\circ$  и  $250-290^\circ$  имеют вид:  $P_{\text{ат}} = 9,0 - 4420,3/T$  и  $P_{\text{ат}} = 8,4 - 4540,1/T$  соотв. Значения  $\Delta H^0$  и  $\Delta S^0$  для этих температурных интервалов равны 20,2 ккал/моль, 41,4 э. е. и 20,7 ккал/моль, 38,3 э. е. соответственно.

С. С. Плоткин

$\text{Co}_3(\text{PO}_4)_2$

1973

---

Тетеревков А.И.

Редк. "Х. физ. химии" АН СССР, М., 1973

(Рукопись деп. в Винити 28 июня 1973 г.  
№6407-73.)

(д/44)

• (аэ.  $\text{Mg}_2\text{P}_2\text{O}_7$ , I)

Lemm. A-2757

1974

Co<sub>2</sub>P<sub>2</sub>O<sub>7</sub>

однокл. SH<sub>3</sub>(K)

Б. Н. Бернов

Технол. свойства недорогих  
звукопоглощающих  
материалов

Ред. рукопись ВИНИТИ.

N 590-74

$\text{CoP}_x\text{S}_{2-x}$

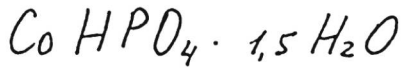
БФ - XVII - 2165

Х. 1975. № 3

3 Б889. Приготовление и свойства системы  $\text{CoP}_x\text{S}_{2-x}$ . Nahigian H., Steger J., Arnott R. J., Wold A. Preparation and properties of the system  $\text{CoP}_x\text{S}_{2-x}$ . «J. Phys. and Chem. Solids», 1974, 35, № 10, 1349—1354 (англ.)

Методами ТГА, рентгенографии и измерениями плотности и магнитных св-в исследовали систему  $\text{CoP}_x\text{S}_{2-x}$  ( $0 < x < 1$ ). Образцы готовили нагреванием стехиометрич. кол-в элементарных в-в в запаянных трубках при  $350^\circ$  (все в-ва 99,999% чистоты). Полученные образцы измельчали и снова нагревали при  $800^\circ$  в течение 1—2 недель. Монокрист. образцы готовили газотранспортной р-цией с  $\text{Cl}_2$ . Константы решетки уменьшаются с увеличением  $x$  от 0,5 до 1 ( $a$  от 5,470 до 5,414;  $c$  от 5,457 до 5,430), а плотность увеличивается от 4,973 до 5,068 г/см<sup>3</sup>. Измерение магнитных св-в проводили в интервале от 4,2 до 500 К при  $0 < x < 0,5$  и напряженности магнитного поля до 9,5 Кэ. Т-ра Кюри понижается линейно от состава: от 122 К ( $x=0$ ) до 23 К ( $x=0,3$ ). Т-ра Вейса уменьшается почти линейно от 150 К ( $x=0$ ) до 85 К ( $x=0,3$ ). Ход т-р Кюри и Вейса в зависимости от состава аналогичен ходу т-р в системах  $\text{CoAs}_x\text{S}_{2-x}$  и  $\text{CoSe}_x\text{S}_{2-x}$ , а при  $x < 0,25$  он практически одинаков.

Л. Г. Титов



1974

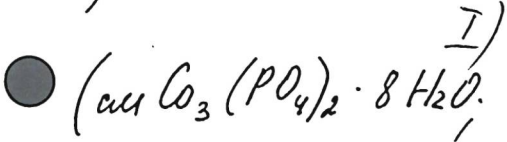
Yaglov V.N.

Marinova Y.A.

Dokl. Akad. Nauk B.

SSR 1974, 18(7), 624-7

(Russ)



Co<sub>x</sub>S<sub>2-x</sub> | Bφ - XVI - 2165 | 1974

16130 Preparation and properties of the system cobalt sulfide :  $\text{CoP}_x\text{S}_{2-x}$ . Nahigian, H.; Steger, J.; Arnett, R. J.; Wold, A. (Dep. Chem., Brown Univ., Providence, R.I.). *J. Phys. Earth* 1974, 35(10), 1349-54 (Eng). Lattice parameters were detd. for polycryst.  $\text{CoP}_x\text{S}_{2-x}$  ( $0 \leq x \leq 1$ ). A cubic region was obsd. for  $0 \leq x \leq 0.5$  and a tetragonal region for  $0.5 < x \leq 1$ . Magnetization and susceptibility measurements were made on  $\text{CoP}_x\text{S}_{2-x}$  ( $0 \leq x \leq 0.5$ ) at 4.2-500°K and  $\leq 9.5$  kOe. The ferromagnetic Curie temp. decreased almost linearly with compn. from  $122 \pm 1$  °K for  $x = 0$  to  $23 \pm 1$  °K at  $x = 0.3$ . The satn. magnetization rose from  $40.0 \pm 0.2$  emu/g at  $x = 0$  to  $41.5 \pm 0.2$  emu/g at  $x = 0.05$ , then decreased to  $< 15$  emu/g at  $x = 0.3$ . The square of the Co effective moment increased linearly with P substitution for  $x = 0-0.3$ . The magnetic properties of this system are compared with those of  $\text{CoAs}_x\text{S}_{2-x}$  and  $\text{CoSe}_x\text{S}_{2-x}$ . Changes with compn. in the Curie and Weiss temps. are almost identical in the 3 systems for  $x \leq 0.25$ . As with  $\text{CoAs}_x\text{S}_{2-x}$ , the ferromagnetic moment reaches a max. at  $x = 0.05$  and then decreases with increasing  $x$ , but the magnetic interactions remain ferromagnetic for all  $x \leq 0.5$ .

*Tcure*

C.A. 1974 81  
N24

$\text{Co}_3(\text{PO}_4)_2$

1974

21 Б399. О кристаллической структуре  $\text{Co}_3(\text{PO}_4)_2$ .  
Nord Andirs G. Note on the crystal structure of  
 $\text{Co}_3(\text{PO}_4)_2$ . «Acta chem. scand.», 1974, A 28, № 2, 150—  
152 (англ.).

Проведено рентгенографич. изучение (метод порошка, 55 отражений фотометодом,  $\lambda\text{Fe}$ , МНК,  $R=0,14$ ) крист. структуры  $\text{Co}_3(\text{PO}_4)_2$ :  $a = 7,5557$ ,  $b = 8,3736$ ,  $c = 5,0615\text{\AA}$ ,  $\beta = 94,03^\circ$ ,  $Z = 2$  ф. гр.  $P2_1/n$  (монокл.) Процесс уточнения структуры МНК проведен в соответствии с методикой, описанной Шерингером (РЖХим, 1964, 5Б204) с привлечением модели абс. жесткого тела для тетраэдрич. группировки  $\text{PO}_4$  (величина расстояния  $\text{P}-\text{O} = 1,5\text{\AA}$ , фиксированы значения изотропных т-рных факторов). Полученные данные сопоставлены с результатами структурных исследований по  $\text{Mg}_3(\text{PO}_4)_2$  и  $\gamma\text{-Zn}_3(\text{PO}_4)_2$  (РЖХим, 1963, 23Б216). Установлена изоструктурность исследуемого соединения соединению  $\gamma\text{-Zn}_3(\text{PO}_4)_2$ , что предположительно объясняено близостью величин ионных радиусов и электронных конфигураций  $\text{Co}^{2+}$  и  $\text{Zn}^{2+}$ .

И. Д. Датт

Крист.  
Структ.

2.1974. N21

1974

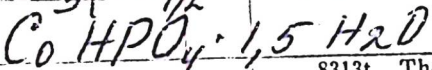
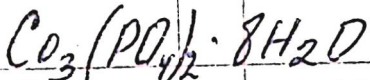
Co P<sub>x</sub> S<sub>(2-x)</sub>

85: 86364m Preparation and properties of the system cobalt sulfide phosphide ( $\text{CoP}_x\text{S}_{2-x}$ ). Nahigian, H.; Steger, J.; Arnott, R. J.; Wold, A. (Dep. Chem., Brown Univ., Providence, R. I.). *J. Phys. Chem. Solids* 1974, 35(10), 1349-54 (Eng). Lattice parameters were detd. for polycryst.  $\text{CoP}_x\text{S}_{2-x}$  ( $0 \leq x \leq 1$ ). A cubic region was obsd. for  $0 \leq x \leq 0.5$  and a tetragonal region for  $0.5 < x \leq 1$ . Magnetization and susceptibility measurements were made on  $\text{CoP}_x\text{S}_{2-x}$  ( $0 \leq x \leq 0.5$ ) at 4.2-500°K and  $\leq 9.5$  kOe. The Terromagnetic Curie temp. decreased almost linearly with compn. from  $122 \pm 1^\circ\text{K}$  for  $x = 0$  to  $23 \pm 1^\circ\text{K}$  at  $x = 0.3$ . The satn. magnetization rose from  $40.0 \pm 0.2$  emu/g at  $x = 0$  to  $41.5 \pm 0.2$  emu/g at  $x = 0.05$ , then decreased to  $< 15$  emu/g at  $x = 0.3$ . The square of the Co effective moment increased linearly with P substitution for  $x = 0-0.3$ . The magnetic properties of this system are compared with those of  $\text{CoAs}_x\text{S}_{2-x}$  and  $\text{CoSe}_x\text{S}_{2-x}$ . Changes with compn. in the Curie and Weiss temps. are almost identical in the 3 systems for  $x \leq 0.25$ . As with  $\text{CoAs}_x\text{S}_{2-x}$ , the ferromagnetic moment reaches a max. at  $x = 0.05$  and then decreases with increasing  $x$ , but the magnetic interactions remain ferromagnetic for all  $x \leq 0.5$ .

(Curie)

C.A. 1976 85 n 12

1974



8313t Thermodynamic features of the dehydration of cobalt and nickel phosphate crystal hydrates. Yaglov, V. N.; Marinova, L. A.; Novikov, G. I. (Beloruss. Tekhnol. Inst. im. Kirova, Minsk, USSR). *Dokl. Akad. Nauk B. SSR* 1974, 18(7), 624-7 (Russ). The vapor pressure-temp. curves and  $\Delta H$ ,  $\Delta G$ , and  $\Delta S$  of dehydration of  $\text{Co}_3(\text{PO}_4)_2 \cdot 8\text{H}_2\text{O}$ ,  $\text{Ni}_3(\text{PO}_4)_2 \cdot 8\text{H}_2\text{O}$ ,  $\text{CoHPO}_4 \cdot 1.5\text{H}_2\text{O}$ , and  $\text{NiHPO}_4 \cdot 2\text{H}_2\text{O}$  were detd. up to  $600^\circ\text{C}$ .

( $\Delta H, \Delta S, \Delta G$ )

(+1)

c.a. 1975 82 v2



1975

Куцемир С. В. и гп.

Беслан. лаборатория ИМСТ.  
1975, 95, 34-8.

( $\Delta M_f$ )

(all  $\text{Co}_3\text{PO}_4$ ) I

$\text{Co}_3(\text{PO}_4)_2$

1975

12 Б2043. Уточнения структуры  $\text{Co}_3(\text{PO}_4)_2$ . Замечания о возможностях опорошковых дифракционных исследований. Structure refinements of  $\text{Co}_3(\text{PO}_4)_2$ . A note on the reliability of powder diffraction studies. Nord Anders G., Stefanidis Theodor. «Acta chem.

Методами порошковой рентгенографии (фокусирующая камера Гинье—Хегга,  $\lambda\text{Cr}-K_{\alpha 1}$ , KCl — внутренний стандарт, поточечная съемка,  $\theta$  до  $44^\circ$  с шагом  $0,0127^\circ$ , 2500 точек, 74 брэгговских рефлекса) и нейтронографии ( $\lambda 1,8820 \text{ \AA}$ , 5-детекторный дифрактометр,  $0$  от  $5$  до  $45^\circ$  с шагом  $0,025^\circ$ , 144 рефлекса) изучена кристаллическая структура  $\text{Co}_3(\text{PO}_4)_2$ . Уточнение в изотропном приближении 18 атомных позиц. параметров проведено методом полиопрофильного анализа до  $R_I 6,7$ ,  $R_p 11\%$  по рентгеновским и до 9—9,7% по нейтронографич. данным. Структура монокл.,  $P2_1/n$ ,  $a 7,556$ ,  $b 8,371$ ,  $c 5,064 \text{ \AA}$ ,  $\beta 94,05^\circ$ . Атом Co в структуре занимает две

струкура

X.1984, 19, N12.

различные позиции: искаженную тригон. бипирамиду  $[\text{CoO}_5]$  (средн. для разных методов уточнения  $\text{Co}-\text{O}$  2,042—2,080 Å) и октаэдр  $[\text{CoO}_6]$  ( $\text{Co}-\text{O}$  2,125—2,140 Å). Средн.  $\text{P}-\text{O}$  1,530—1,542 Å. Проведенное сравнение результатов данной работы и предыдущих монокрист. (Anderson J. B. и др., «J. Solid State Chem.», 1975, 14, 372) и порошкового (Nord A. G., «Acta Chem. Scand.», 1974, A28, 150) уточнений показало, что эти расстояния могут отличаться на 1—2σ. Обсуждается пригодность полнопрофильного анализа для уточнения структур. Опираясь на ряд примеров удачных уточнений, особенно в последнее время, сделан вывод об успешном применении метода как для простых, так и для сложных структур, и в случае использования фокусирующей фотокамеры Гинье—Хегга.

П. А. Сандомирский

РО

$\text{Co}_3(\text{PO}_4)_2 \cdot 8\text{H}_2\text{O}$  ВР-XVI-2551/1975

$\Delta H_f$

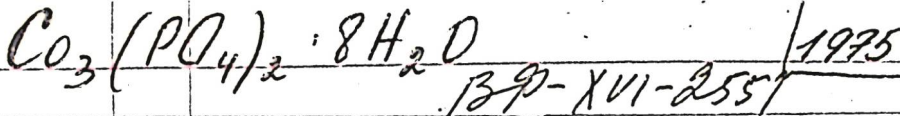
+1

1 Б882. Термодинамические характеристики октагидратов ортофосфатов кобальта и никеля. Волков А. И., Яглов В. Н., Новиков Г. И. «Весці АН БССР. Сер. хім. н., Ізв. АН БССР. Сер. хим. н.», 1975, № 4, 124—125

Определены термодинамические характеристики  $\text{Co}_3(\text{PO}_4)_2 \cdot 8\text{H}_2\text{O}$ :  $\Delta H^\circ$  (обр., 298) =  $-1190,7 \pm 1,2$  ккал/моль и  $\text{Ni}_3(\text{PO}_4)_2 \cdot 8\text{H}_2\text{O}$ :  $\Delta H^\circ$  (обр., 298) =  $-1185,0 \pm 0,9$  ккал/моль. Основной калориметрической реакцией являлась реакция растворения соединений в 4,03 н. растворе соляной кислоты при 25°.

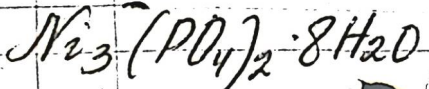
Резюме

Х 1976 N 1



(14f) 169238h Heats of formation of cobalt and nickel orthophosphate octahydrates. Volkov, A. I.; Yaglov, V. N.; Novikov, G. I. (Beloruss. Tekhnol. Inst. im. Kirova, Minsk, USSR). *Vestsi Akad. Navuk B. SSR, Ser. Khim. Navuk* 1975, (4), 124-5 (Russ). Heats of soln. of  $\text{Co}_3(\text{PO}_4)_2 \cdot \text{SH}_2\text{O}$  [10294-50-5],  $\text{Ni}_3(\text{PO}_4)_2 \cdot \text{SH}_2\text{O}$  [19033-89-7],  $\text{CoCl}_2$  [7646-79-9], and  $\text{Ni}(\text{OH})_2$  [12054-48-7] in aq. soln. of 1.03N HCl [7647-01-0] were dtd. at 25°. Std. heats of formation of  $\text{Co}_3(\text{PO}_4)_2 \cdot \text{SH}_2\text{O}$  and  $\text{Ni}_3(\text{PO}_4)_2 \cdot \text{SH}_2\text{O}$  are  $-1190.7 \pm 1.2$  and  $-1185.0 \pm 0.9$  kcal/mole, resp.

K. A. Hlavaty



41 18

C.A. 1975, 83 n20

$\text{Co}_2\text{P}_4\text{O}_{12}$

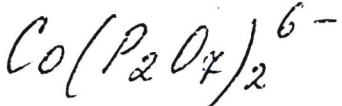
1976

Bagieu - Beucher M.,  
et al.

Kunzite  
complex.  
Ttr

J. Solid State Chem.  
1976, 19 (4), 353-57

(see:  $\text{Ni}_2\text{P}_4\text{O}_{12}$ ; I)



1976

89: 95847f · Stability of pyrophosphate complexes of cobalt in aqueous solution. Vasil'ev, V. P.; Aleksandrova, S. A. (Ivanov. Khim.-Tekhnol. Inst., Ivanovo, USSR). Deposited Doc. 1976, VINITI 3276-76, 8 pp. (Russ). Avail. VINITI. A spectrophotometric study at 25° and ionic strength 0.5 ( $\text{Me}_4\text{NNO}_3$ ) showed new bands of 540, 580, and 610 nm. Extinction coeffs. ( $\epsilon$ ) and stability consts. were calcd. for  $\text{Co}(\text{P}_2\text{O}_7)^{2-}$  and  $\text{Co}(\text{P}_2\text{O}_7)_2^{6-}$  complexes. The stability const. for  $\text{Co}(\text{P}_2\text{O}_7)_2^{6-}$  is  $150 \pm 10$  and  $\epsilon = 25 \pm 1$  (580 nm).

(K.C.F.A.D.)

C.A. 1978, 29, 112

Co-фосфаты

(ОМ 36 979)

1976

Янков В. Н.

SKf, 66f  
(р-рикс)

"Химия и хим. техника"  
Вып 10, Ижевск, 1976,  
26-33

(all Ag-фосфаты)

I)

$\text{Co}_3(\text{PO}_4)_2 \cdot 8\text{H}_2\text{O}$

1977.

Болков А.И. изг.

$(\Delta H_f^{\circ})_{f_{298}}$

Tez. гокал. - γαζ Bee.

KOH.P. 110 калорий.

31/I-77 - 3/II-77.

H-21; 82-83

$\text{Co}_3(\text{PO}_4)_2 \cdot 3\text{H}_2\text{O}$

1977

Дзюба Е. В. 1977.

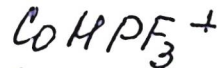
(Ter)

Координаты. Хирик

1977 3(11), 1688-92



С.Р. 1978. 88 № 4 314272.



1974



J. Phys. Chem. Ref. Data,  
1974, 6. Suppl. v1, p 1-531

T.g.  
28-6a

$\text{CoPF}_3^+$

1977

$\text{CoP}_2\text{F}_6^+$  Rosenstock H. W. et al

J. Phys. Chem. Ref. Data,  
1977, 6. Suppl. N 1, p 1-528  
T. G.  
CBBA 1-529

Co - precipitate

1978

90: 211066x Thermodynamic properties of some copper, zinc, and cobalt phosphates. Usmanov, I. I.; Tukhtaev, S.; Adylova, M. R. (Inst. Khim., Tashkent, USSR). *Uzb. Khim. Zh.* 1978, (6), 25-9 (Russ). Heats and entropies of formation of Co, Cu, and Zn phosphates were calcd. by one of the several available calcn. methods. Data were compared to the exptl. data.

$\Delta H_f^\circ, \Delta S_f^\circ$

(42)

Cu - precipitate  
Zn - precipitate

□

C.A. 1979, 90, N246

$\text{Co}_3(\text{PO}_4)_2$

1979

Bonded A. U.

Received 21 Dec. 1979 EXHIBIT

(A.H.F.)

1979, 14, 58 - 64

(act.  $\text{Mn}_3(\text{PO}_4)_2$ ; I)

$\text{Co}_3(\text{PO}_4)_{2} \cdot 8\text{H}_2\text{O}$  1949.

Berkeley A. U.

SHF

Küller in Kull. mineral.  
(Kleener) 1949, 114, 58-64

Cell  $\text{DDPO}_4 \cdot 2\text{H}_2\text{O}-\bar{1}$

$\text{Co}_2(\text{PO}_4)\text{Cl}$

1981

№ 7 Б453. Структура хлорофосфата двухвалентного кобальта,  $\text{Co}_2(\text{PO}_4)\text{Cl}$ . Nord Anders G., Stefanidis Theodor. The structure of cobalt(II) chlorophosphate,  $\text{Co}_2(\text{PO}_4)\text{Cl}$ . «Cryst. struct. Commun.», 1981, 10, № 4, 1251—1257 (англ.)

Проведено рентгеноструктурное исследование (дифрактометр,  $\lambda\text{Mo}$ , 831 отражение, анизотропный МНК до  $R=0,065$ )  $\text{Co}_2(\text{PO}_4)\text{Cl}$  (I). За исходные при уточнении структуры I, взяты координаты атомов изоструктурного  $\text{Fe}(2+)$ -аналога (II, см. Anderson J. R. и др., «Acta Crystallogr.», 1976, B32, 2427). Кристаллы I монокл.  $a = 13,514$ ,  $b = 9,132$ ,  $c = 9,220 \text{ \AA}$ ,  $\beta = 132,90^\circ$ ,  $\rho$ (изм.) 3,92,  $\rho$ (выч.) 3,956,  $Z = 8$ , ф. гр.  $C2/c$ . Структурными ед. I, как и II, являются слегка искаженные тетраэдры  $\text{PO}_4$  и 3 независимых октаэдра  $\text{CoO}_4\text{Cl}_2$  (атомы Co — в центре инверсии, на оси 2 и в общем положении — соотв.  $\text{Co}_{(3)}$ ,  $\text{Co}_{(2)}$  и  $\text{Co}_{(1)}$ ). Полиэдр  $\text{Co}_{(1)}$  объединен противоположными общими гранями с полиэдрами  $\text{Co}_{(2)}$  и  $\text{Co}_{(3)}$  с образованием необычного тримера с ко-

Структура

X. 1982, 19, N7

роткими расстояниями  $\text{Co}_{(1)}-\text{Co}_{(2)}$  3,012,  $\text{Co}_{(3)}-\text{Co}_{(1)}$  2,980 Å. Тримеры, объединяясь, дают бесконечные цепочки соединенных общими гранями полиэдров  $\text{CoO}_4\text{Cl}_2$  вдоль оси *c* кристалла. Полиэдры  $\text{Co}_{(2)}$  и  $\text{Co}_{(3)}$  объединены по общему ребру ( $\text{Co}_{(2)}-\text{Co}_{(3)}$ ) 3,404 Å). Структуры I и II не похожи на структуры Mg- (III) и Mn-аналогов, в которых полиэдры  $\text{Mo}_4\text{Cl}_2$  объединены общими ребрами. Несмотря на это, объем на одну формульную ед. в I и III сходен (104,2 и 104,1 Å<sup>3</sup> соотв.). Несмотря на короткие контакты Co—Co, в структуре I есть неправильные пустоты, делающие структуру, в средн., менее плотно упакованной, чем можно было предполагать для сочлененных общими гранями полиэдров. Расстояния и углы в I: Co—O 1,939—2,240, Co—Cl 2,425—2,542, P—O 1,481—1,572 Å, OPO 106,1—112,8°.

В. С. Сергиенко

стури  
Д.

$\text{Co}(\text{H}_2\text{PO}_4)_2$

$\text{CoMPO}_4$

$\text{Co}_3(\text{PO}_4)_2$

$\text{Co}_2\text{P}_2\text{O}_7$

$(\text{P}) (\text{S}_{298,15})$

Омск 12955 1981

Усманов И.И., к.г.н.

Узб. хим. ас., 1981,

N5, 55-56.

*CoPS<sub>3</sub>*

1982

21 Б493. Синтез и физическая характеристика слоистой фазы  $\text{CoPS}_3$ . Ouvrard Guy, Вгес Raymond, Rouxel Jean. — Synthèse et caractérisation physique de la phase lamellaire  $\text{CoPS}_3$ . «С. г. Acad. sci.», 1982, сér. 2, 294, № 16, 971—976 (фр.; рез. англ.)

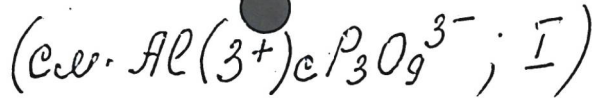
Проведено рентгенографич. исследование (камера Гинье,  $\lambda\text{Cu}$ ) кристаллов  $\text{CoPS}_3$  (I), полученных отжигом стехиометрич. кол-в элементов при  $540^\circ$ . Параметры монокл. решетки I:  $a$  5,901,  $b$  10,222,  $c$  6,658,  $\beta$   $107,17^\circ$ . Параметры решетки I в тригон. установке:  $a$  5,900,  $c$  19,105 Å. I имеет слоистый тип структуры. Характеристикой I как полупроводника является величина энергетич. щели, рассчитанная из зависимости сопротивления от т-ры и составляющая 1,09 эВ. При низкой т-ре I антиферромагнетик ( $T_N$   $122 \pm 2$  K),  $\mu$  4,9  $\mu$ в. Данные по магнитной восприимчивости I соответствуют высокоспиновому состоянию  $\text{Co}^{2+}$  в октаэдрич. окружении. Приведены данные I.  $d(hkl)$ . В. Б. Калинин

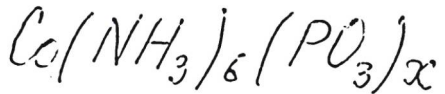
*Tz;*

X. 1982, 19, N21

Korensevich 1983  
[Co(NH<sub>3</sub>)<sub>6</sub>]<sup>3+</sup> c Fushikem Y.,  
P<sub>3</sub>O<sub>9</sub><sup>3-</sup> u P<sub>4</sub>O<sub>12</sub><sup>4-</sup> Giesse R., et al.

K<sub>C</sub>, ΔG, Thermochem. acta,  
ΔH; 1983, 68, n1, 83-89.





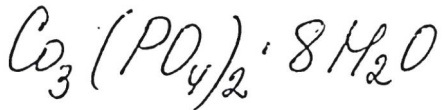
1983

Gushiken Yoshitaka,  
Giesse Ralf, et al.

$\Delta H$ ;  $\Delta S$ : Thermochem. Acta

1983, 68(1), 83-89.

( $[Co(NH_3)_6](PO_3)_x$ ; I)



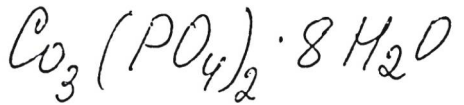
1983

Трапезниковъ А. В.,  
Шестидесятнадъ М. И.

Kр;

Ж. неоргак. химии,  
1983, 28, № 9, 2394-2397.

(см.  $\text{Zn}_3(\text{PO}_4)_2 \cdot 4\text{H}_2\text{O}$ ; I)



1983

Волков А. Н., Кон-  
чалова О. Н., упр.

Kp; Химия и хим. технологии  
(Минск), 1983, N 18, 128-  
-129.

[Ces. llg.  $(\text{PO}_4)_2 \cdot 8\text{H}_2\text{O}$ ;]

$\text{Co}(\text{H}_2\text{PO}_4)_2 \cdot 2\text{H}_3\text{PO}_4$  (№ 16067) 1983

16 E357. Теплоемкость некоторых фосфатов. Specific heat of some phosphate compounds. Гјаркин N. «Solid State Commп.», 1983, 45, № 2, 133—135 (англ.)

С помощью дифференциального сканирующего калориметра изучена теплоемкость  $\text{Co}(\text{H}_2\text{PO}_4)_2 \cdot 2\text{H}_3\text{PO}_4$  (I);  $\text{Mn}(\text{H}_2\text{PO}_4)_2 \cdot 2\text{H}_3\text{PO}_4$  (II),  $\text{Ba}(\text{H}_2\text{PO}_4)_2$  (III),  $\text{PbHPO}_4$  (IV) в интервале т-р от 100 до 373 К. Вблизи 190 К обнаружены аномалии теплоемкости у I и II. В III вблизи 147 К имеется фазовое превращение. Л. П. Ф.

Г.

(+3) IX

гр. 1983, 18, № 6

$\text{Co}(\text{H}_2\text{PO}_4)_2 \cdot 2\text{H}_3\text{PO}_4$  10 mm. 16067/1983

$C_p$ :

98: 133152w Specific heat of some phosphate compounds.  
Tjapkin, N. ("Boris Kidric" Inst. Nucl. Sci., Belgrade, Yugoslavia).  
*Solid State Commun.* 1983, 45(2), 133-5 (Eng). Sp. heats  $C_p^E$ , of  
some phosphates were measured on powd. samples at 100-373 K.  
Anomalous behavior of  $C_p^E(T)$  was obsd. for  $\text{Co}(\text{H}_2\text{PO}_4)_2 \cdot 2\text{H}_3\text{PO}_4$  and  
 $\text{Mn}(\text{H}_2\text{PO}_4)_2 \cdot 2\text{H}_3\text{PO}_4$  around 190 K. In triclinic  $\text{Ba}(\text{H}_2\text{PO}_4)_2$ , a phase  
transition was found at about 147 K, i.e. at a somewhat higher temp.  
than according to previous dielec. measurements.

(+2)

C.A. 1983, 98, N/6.

$\text{Mn}(\text{H}_2\text{PO}_4)_2 \cdot 2\text{H}_3\text{PO}_4$  (C)

$\text{Ba}(\text{H}_2\text{PO}_4)_2$  (Tr)

$\text{Co}_{1-x}\text{Px}$  1985  
(anropo-cr.) Cernat L., Bourrouy-  
kba M. et al.

(P) Bulletin of Chem.  
Thermodyn., 1985,  
28, p. 226.

$\beta$ - $\text{Co}_2\text{P}_2\text{O}_7$

1985

/ 104: 198713s Preparation and some properties of dicobalt diphosphate ( $\text{Co}_2\text{P}_2\text{O}_7$ ). Trojan, Miroslav; Brandova, Dagmar (Czech.). *Sb. Ved. Pr., Vys. Sk. Chemickotechnol. Pardubice* 1985, 47, 33-42 (Czech). Thermal decomprn. of  $\text{CoHPO}_4 \cdot 1.5\text{H}_2\text{O}$  proceeded via loss of water of crystn. at  $150$ - $320^\circ$  and loss of constitutional water at  $320$ - $480^\circ$  under the formation of amorphous  $\text{Co}_2\text{P}_2\text{O}_7$  to the formation of the high temp. cryst.  $\beta$ - $\text{Co}_2\text{P}_2\text{O}_7$  (I) through a mild exothermic process at  $480^\circ$ . The low temp.  $\alpha$ - $\text{Co}_2\text{P}_2\text{O}_7$  was confirmed at  $300^\circ$  from cooling curves only. I m  $1210^\circ$  congruently in a He atm. Some properties of I, prep'd. by isothermal calcination in elec. furnace, were detd. in connection with the potential use of I as a pigment and an additive to long term fertilizers.

J. Hala

(Tm)

C.A. 1986, 104, N22

$\text{Co}_2\text{P}_2\text{O}_7$

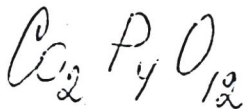
1985

9 В6. Вопросы получения и свойства  $\text{Co}_2\text{P}_2\text{O}_7$ . Problematika přípravy a některé vlastnosti  $\text{Co}_2\text{P}_2\text{O}_7$ . Трой-  
як M., Grandová D. «Sb. věd. pr. VŠCHT Pardubice»,  
1985, 47, 33—42 (чеш.; рез. англ., нем., рус.)

Изучены условия получения  $\text{Co}_2^2+\text{P}_2\text{O}_7$  (I) путем про-  
каливания  $\text{CoHPO}_4 \cdot 1,5\text{H}_2\text{O}$  (II). Идентификация про-  
дуктов прокаливания выполнена с использованием дан-  
ных ТСХ, ИК-спектров и рентгенофазового анализа.  
Предложена схема термич. разл. II. Плавление I изу-  
чено методами высокот-рной микроскопии и ДТА. Опре-  
делены уд. вес, уд. Пв и растворимость I. По резюме

111

X. 1986, 19, №



1985

Trojan M., Brzardová D.

$T_m$ ; Thermochem. Acta,  
1985, 88, N<sup>o</sup> 2, 415 - 419.

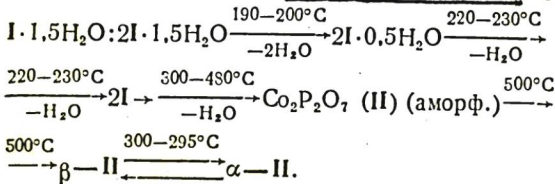


*CoHPO<sub>4</sub> · 1,5H<sub>2</sub>O*

*1988*

11 Б3116. Механизм дегидратации CoHPO<sub>4</sub> · 1,5H<sub>2</sub>O.  
 Mechanism of the dehydration of CoHPO<sub>4</sub> · 1,5H<sub>2</sub>O /  
 Brandová D., Trojan M., Arnold M., Paulík F., Paulík J. // J. Therm. Anal.— 1988.— 34, № 3.— 673—678.—  
 Англ.; рез. нем., рус.

Методами термич. анализа (в квазизотермич. и квазизобарич. условиях), а также ТСХ, ИК-спектроскопии, РФА и электронной микроскопии изучена дегидратация и термич. поведение CoHPO<sub>4</sub> (I) · 1,5H<sub>2</sub>O. Предло-



жена схема термич. разл.

Л. Г. Титов

*X. 1989, N 11*

$\text{CO}_2 \text{P}_2 \text{O}_7$  Шаршанчиков Г.А., 1988  
Озеро Ольховское 21 км.

12. Вес. камн.: 120 кг. влажн. неизв.

$\text{Ca}_2 \text{Ti}_2 \text{O}_5$  гидратированная кальциевая титанатная  
тиоборатная смесь. Титан. окись, Титанаты,  
13-15 см. 1988. 4. 1. Титанаты,  
 $\Delta H_{\text{f}}$  1988, 112.

( $\text{Ca}_2 \text{Mg}_2 \text{P}_2 \text{O}_7 \cdot \text{H}_2\text{O}$ )

$\text{Co}_2\text{P}_2\text{O}_7$

1988

Sharpataya G. A.,  
Sokolova I. D. et al.

$T_{fz}$ , Heat capacity and phase  
transitions of  $\text{Mg}, \text{Zr}; \text{Co},$   
 $\Delta H_{fz}; \text{Ni}, \text{Cu}$ , diphosphates.

10th ILIPAC conference on  
chemical thermodynamics

august 29 - september 2, 1988.

Prague Czechoslovakia, program booklet II, AG.

$\text{Co}_2\text{P}_2\text{O}_7$

1989

) 22 Б2294. Магнитная структура дифосфата кобальта  $\text{Co}_2\text{P}_2\text{O}_7$ . The magnetic structure of cobalt diphosphate  $\text{Co}_2\text{P}_2\text{O}_7$  / Forsyth J. B., Wilkinson G., Paster S., Wanklyn B. M. // J. Phys. Condens. Matter.— 1989.— 1, № 1.— С. 169—178.— Англ.

При 3,9 К методом рассеяния неполяризованных нейтронов исследована магн. структура монокристаллов монокл.  $\text{Co}_2\text{P}_2\text{O}_7$  (I) с ф. гр.  $B2_1/c$ , имеющего т-ру антиферромагн. упорядочения 10,2 К. Установлено, что магн. структура I образована двумя типами кристаллографически неэквивалентных ионов  $\text{Co}^{2+}$  с магн. моментами 3,60 и 3,62  $\mu_B$  (магн. пр. гр.  $P_{2a}2_1/c$ ). Структура неколлинеарна; магн. моменты ионов двух типов в сферич. системе координат осей имеют ориентации  $\theta = 82,1;$   $113,5^\circ$  и  $\varphi = -0,4,$   $-43,7^\circ$ , соотв., причем,

магнитная  
структура

Х.1989, №22

$\text{CoHPO}_3$

LM 33676

1989

Co - propionate Sapina F., Gomez-Rome-  
20 P., et al.,

Eur. J. Solid State  
and Inorg. Chem. 1989,  
26, N6, 603-617

$\text{P}_2\text{O}_7$  Sharpataya f. A.,  
SOKOLOVA I. D. et al. 1989

$\text{P}_2\text{O}_7$  11 Int. Conf. Phosphorescence  
 $\text{P}_2\text{O}_7$ , Chem., Tallinn, July 3-7,  
 $\text{AlH}_3$ , 1989: Abstr. Post. Vol. 2.  
 $\text{AlH}_3$ , Tallinn, 1989. C. 3.  
(catal.  $\text{Mg}_2\text{P}_2\text{O}_7$ ;  $T$ )

d- $\text{Co}_2\text{P}_2\text{O}_7$

1989

12 В20. Синтез и дегидратация гидрата гидрофосфата кобальта / Toda Yoshitomo, Sato Takayuki, Morigata Sadao, Hashimoto Koshiro, Arai Yasuo // Сэйко то сэkkai=Gyps. and Lime.— 1989.— № 223.— С. 355—362.— Яп.; рез. англ.

Методами рентгеновского, хим. и термич. анализов изучены продукты, образующиеся при старении в течение до 30 сут при 96°С суспензии, полученной при введении по каплям р-ра KOH/H<sub>3</sub>PO<sub>4</sub> (мол. отношение 2 : 1) к 0,5 М р-ру CoCl<sub>2</sub>. На ранних стадиях процесса образуются сферич. крист. частицы со сред. размером фазы CoHPO<sub>4</sub>·nH<sub>2</sub>O (I); при старении в течение 2 сут образуются пластинчатые кристаллы со средн. размерами 8×0,5 мкм фазы CoHPO<sub>4</sub>·2H<sub>2</sub>O (II); при старении в течение ~10 сут — пластинчатые кристаллы со средн. размерами 80×10 мкм фазы CoHPO<sub>4</sub>·3/2 H<sub>2</sub>O (III) и при старении более 30 сут — пластинчатые кристаллы

X. 1990, N 12

со средн. размером  $10 \times 2$  мкм новой фазы  $\text{CoHPO}_4 \cdot 3/4 \text{H}_2\text{O}$  (**IV**). При нагревании **I** до  $256^\circ\text{C}$  образуется аморфная фаза, к-рая выше  $600^\circ\text{C}$  переходит в  $\alpha\text{-Co}_2\text{P}_2\text{O}_7$  (**V**). Если **II** нагревать до  $130^\circ\text{C}$ , то образуется  $\text{CoHPO}_4$ , к-рый при т-ре выше  $250^\circ\text{C}$  переходит в аморфную фазу, а выше  $594^\circ\text{C}$  — в **V**. Нагревание выше  $253^\circ\text{C}$  **III** приводит к образованию новой фазы  $\text{CoHPO}_4 \cdot 1/2\text{H}_2\text{O}$ , к-рая при т-ре выше  $308^\circ\text{C}$  превращается в **V**. Нагревание **IV** при  $363^\circ\text{C}$  приводит к **V**.

По резюме

CP<sub>3</sub> 1990

Ferloni P., Scagliotti M.

Heat Capacities of Iron,  
Cobalt and Nickel Phos-  
phores Tri-Sulphides  
from 100 to 300 K.

C<sub>p</sub>  
100-300K

45th Annual Calorimetry  
Conference USA, Ann Arbor

Michigan, 1990 July 22-27,  
p. 117.

СоHPO<sub>4</sub>

1990

Д 6 Б3134. Свойства сферических [частиц] гидрата гидрофосфата кобальта / Hashimoto Kazuaki, Toda Yoshitomo, Harada Seiji, Sato Takayori, Hashimoto Ko-shiro, Arai Yasuo // Сэкко то сэkkай = Cyps. and Lime. — 1990. — № 228. — С. 277—284. — Яп.; рез. англ.

Методами ДТА, ТГА, хим. анализа, рентгенографии и БХ изучено термич. разл. сферич. частиц CoHPO<sub>4</sub>(I)·H<sub>2</sub>O, полученных из р-ров системы CoCl<sub>2</sub>—H<sub>3</sub>PO<sub>4</sub>—KOH—H<sub>2</sub>O при 96° С на ранних стадиях осаждения.

Термич. разл. I·2H<sub>2</sub>O протекает по схеме: I·2H<sub>2</sub>O → I·  
→ 220° С → 290° С → 590° С  
· H<sub>2</sub>O → I → аморф. фаза → α-Co<sub>2</sub>P<sub>2</sub>O<sub>7</sub>. Одно-  
временно с дегидратацией отмечено образование дифос-  
фатов при ~100° С и трифосфатов при 350~550° С.  
В потоке насыщ. вод. паров I·2H<sub>2</sub>O при 25° С превра-  
щается в I·xH<sub>2</sub>O и в Co<sub>3</sub>(PO<sub>4</sub>)<sub>2</sub> (II)·4H<sub>2</sub>O при 96° С.

Разл. II·4H<sub>2</sub>O протекает по схеме I·2H<sub>2</sub>O → II·  
→ 250° С → 350° С  
· 2H<sub>2</sub>O → II·H<sub>2</sub>O → II.

Резюме

X. 1991, N 6

$\text{Co}_3(\text{PO}_4)_2 \cdot 4\text{H}_2\text{O}$

1992

19 В15. Синтез и термические изменения тетрагидрата фосфата кобальта(2+) /Hashimoto Kazuaki, Toda Yoshitomo, Hashimoto Koshiro, Arai Yasuo //Ниппон кагаку кайси =J. Chem. Soc. Jap. —1992 .—№ 4 .—С. 369—374 .—Яп. ;рез. англ.

Методами РФА, термич. анализа и хим. анализа исследованы процесс синтеза и св-ва частиц  $\text{Co}_3(\text{PO}_4)_2 \cdot 4\text{H}_2\text{O}$  (I). I синтезирован сусpenзированием гидратов гидрофосфата кобальта(2+) в деионизованной воде при 80—96° С в течение.. 24 ч. Кристаллы I представляют собой пластины размером ~ 0,5×2 мкм, имеющие светлую голубовато-фиол. окраску. I трансформируется до  $\text{Co}_3(\text{PO}_4)_2 \cdot 5/2\text{H}_2\text{O}$  (II) в результате дегидратации, сопровождающейся отщеплением 3/2 молекул кристаллизаци. воды при 222° С, и кристаллизуется в  $\text{Co}_3(\text{PO}_4)_2$ , при нагревании до 593° С через аморф. фазу. II превращается в I при выдерживании в сосуде под насыщ. вод. паром при комн. т-ре. Тонкие частицы  $\text{Co}_3(\text{PO}_4)_2$ , полученные нагреванием I, перспективны для применения в кач-ве пурп. пигмента.

термические  
изменения

X. 1992, N 19.

*CoHPO<sub>4</sub> · 3/2H<sub>2</sub>O*

*1992*

16 В7. Влияние размера частиц 3/2-гидрата водородо-фосфата кобальта на его окраску /Hashimoto Kazuaki, Toda Yoshitomo, Fukazawa Hiroaki, Kobayashi Safoji, Hashimoto Koshiro, Arai Yasuo //Shikizai kyokaishi=J. Jap. Soc. Colour Mater .—1992 .—65 ,№ 12 .—С. 740—749 .—Яп.; рез. англ.

Реакцией между  $2\text{CoCO}_3 \cdot 3\text{Co(OH)}_2$  и  $\text{H}_3\text{PO}_4$  в воде при  $96^\circ\text{C}$  синтезированы различные виды  $\text{CoHPO}_4 \cdot 3/2\text{H}_2\text{O}$ , отличающиеся формой кристаллов и размером частиц. Исследована связь окраски полученных фосфатов с размером их частиц. Окраска продуктов изменяется в зависимости от условий синтеза, в частности, от отношения исходных реагентов  $R = [\text{P}_2\text{O}_5]/[\text{CoO}]$  и времени старения. Желто-красн.  $\text{CoHPO}_4 \cdot 3/2\text{H}_2\text{O}$  ( $\lambda$  578—590 нм) образуется при  $R = 1,0—1,25$ . Окраска продуктов приобретает красноватый оттенок при увеличении времени старения. Доминирующие длины волн смещаются в область высших значений при увеличении размера частиц. Найдена ли-

*X. 1993, № 16*

нейная взаимосвязь между величинами доминирующих длин волн и логарифмами ширины и толщины частиц. Красно-пурп.  $\text{CoHPO}_4 \cdot 3/2\text{H}_2\text{O}$  ( $\lambda$  510 нм) синтезирован добавлением к системе орг. соединений (1-бутинола, этиленгликоля или 1,4-диоксана). На окраску продукта влияет, в основном, толщина частиц; при увеличении размера частиц окраска изменяется от желто-крас. до красно-пурпурной.



$\text{Co}_2(\text{P}_2\text{O}_7) \cdot 2\text{H}_2\text{O}$

1993

2 Б2055. Сравнение кристаллических структур  $\text{Co}_2(\text{X}_2\text{O}_7) \cdot 2\text{H}_2\text{O}$ ,  $\text{X}=\text{P}$  и  $\text{As}$ . Comparison of the crystal structures of  $\text{Co}_2(\text{X}_2\text{O}_7) \cdot 2\text{H}_2\text{O}$ ,  $\text{X}=\text{P}$  and  $\text{As}$  /Effenberger H., Pertlik F. //Monatsh. Chem. .—1993 .—124 , № 4 .—С. 381—389 .—Англ. ;рез. англ., нем.

Взаимодействием  $\text{Co}_3(\text{OH})_2(\text{PO}_3\text{OH})_2$  с  $\text{H}_3\text{PO}_4$  или  $\text{Co}(\text{OH})_2$  с  $\text{As}_2\text{O}_3$  и  $\text{HNO}_3$  в гидротермальных условиях при 190—230° С в тефлоновой ампуле в автоклаве получены  $\text{Co}_2(\text{X}_2\text{O}_7) \cdot 2\text{H}_2\text{O}$  с  $\text{X}=\text{P}$  (I) или  $\text{As}$  (II). Для I и II методом РСТА ( $\lambda\text{Mo}$ , 2423 и 2042 ненулевых отражения,  $R$  0,032, 0,028,  $R_w$  0,046, 0,033) изучена кристаллическая структура. Монокл. I и II имеют  $a$  6,334, 6,531,  $b$  13,997, 14,206,  $c$  7,376, 7,615 Å,  $\beta$  94,77, 94,74°,  $Z$  4,  $\rho$ (выч.) 3,34, 3,92, ф. гр.  $P2_1/n$ . В I и II тетраэдры  $\text{XO}_4$  через общие вершины связаны в группы  $\text{X}_2\text{O}_7$ , причем в случае II среднее расстояние  $\text{X}-\text{O}$  в 2 тетраэдрах различается сильнее (1,685 и 1,698 Å), чем в I (1,540 и 1,543 Å).

8  
41

Х. 1994, № 2



$\text{Co}_2(\text{As}_2\text{O}_7) \cdot 2\text{H}_2\text{O}$

Атомы Со имеют октаэдрич. координацию и окружены 5 атомами О групп X<sub>2</sub>O, и 1 атомом O(H<sub>2</sub>O), Co—O для I и II в пределах соотв. 2,024—2,188 и 2,041—2,184 Å. При сравнении межатомных расстояний I, II и изотипных соединений Mg и Mn установлена корреляция соотношения (M—O)/(X—O) и угла O—X—O.

М. Б. Варфоломеев



*CoNH<sub>4</sub>PO<sub>4</sub>·6H<sub>2</sub>O*

1994

1 Б3079. Топохимические превращения кристаллов  
CoNH<sub>4</sub>PO<sub>4</sub>·6H<sub>2</sub>O при хранении на воздухе /Самускевич В. В., Шкорик Н. А. //Ж. неорган. химии .—1994 .—39 № 5 .—С. 759—763 .—Рус.

Методами гравиметрии, РФА, оптич. микроскопии исследовано влияние относит. влажности воздуха ( $RH$ ) на кинетику хим. и фазовых превращений крист. гексагидрата кобальтаммонийфосфата при хранении ( $t=20^{\circ}\text{C}$ ). Выявлено три области  $RH$ , различающиеся типом происходящих топохим. процессов, хим. и фазовым составом образующихся продуктов. При  $20\% \leq RH \leq 80\%$  преобладает протекающее по топотаксич. модели твердофазное превращение крист. гексагидрата в крист. моногидрат. При  $0,02\% \leq RH \leq 2\%$  удаление кристаллизац. воды завершается образованием рентгеноаморф. безводн. кобальтаммонийфосфата, а при  $90\% \leq RH \leq 100\%$  исходный гексагидрат поглощает пары воды, что сопровождается самопроизвольной жидкофазной перекристаллизацией его в моногидрат.

*X. 1995, n1*

Co<sub>2</sub>P<sub>2</sub>O<sub>7</sub>

(2-320K)

Om 37448

1994

18 Б3087. Фазовые переходы дифосфата кобальта /Шарпатая Г. А., Гавричев К. С., Горбунов В. Е., Озерова З. П., Соколова И. Д., Федосеев А. Д., Филатов А. В. //Ж. неорг. химии .—1994 .—39 ,№ 3 .—С. 398—406 .—Рус.

Теплоемкость дифосфата кобальта  $\text{Co}_2\text{P}_2\text{O}_7$  в интервале 2—320 К измерена с помощью адиабатич. калориметров. Найдена аномалия  $\lambda$ -типа при 10.5 К с энталпией и энтропией превращения  $85.0 \pm 2.6$  Дж/моль и  $9.17 \pm 0.26$  Дж/(К моль) соотв. Изучение магнитной вос-

$\rho, T_2, M_t^2$

X.1994, N18.

приимчивости в области низких т-р показало, что эта аномалия связана с фазовым переходом второго рода из антиферромагнитного в парамагнитное состояние. В интервале 295—1040 К теплоемкость  $\text{Co}_2\text{P}_2\text{O}_7$  изучена с помощью ДСК. Показано, что структурный переход  $\alpha \rightarrow \beta\text{-Co}_2\text{P}_2\text{O}_7$  охватывает интервал 528—627 К, причем основная его часть развивается в области 568—578 К с максимумом теплоемкости при  $574,6 \pm 1,0$  К. Энталпия превращения  $\alpha \rightarrow \beta$  составляет  $3,74 \pm 0,06$  кДж/моль. Величина энтропии превращения, равная  $6,50 \pm 0,10$  Дж/(К моль)  $\approx R\ln 2$ , позволяет сделать вывод, что структурный переход в дифосфате кобальта протекает по типу порядок—беспорядок. Рассчитаны термодинамич. функции  $\text{Co}_2\text{P}_2\text{O}_7$ , к-рые при стандартных условиях составляют:  $C_p^0(298.15 \text{ K}) = 192.2 \pm 0.2 \text{ Дж/(K моль)}$ ;  $\phi^0(298.15 \text{ K}) = 98.24 \pm 0.49 \text{ Дж/(K моль)}$ ;  $S^0(298.15 \text{ K}) = 206,1 \pm 1,1 \text{ Дж/(K моль)}$ ;  $H^0(298,15 \text{ K}) - H^0(0) = 32,16 \pm 0,17 \text{ кДж/моль}$ .

$\text{Co}_2\text{P}_2\text{O}_7$

Om 37448

1994

121: 44120k Phase transitions of cobalt diphosphate. Sharpataya, G. A.; Gavrichev, K. S.; Gorbunov, V. E.; Ozerova, Z. P.; Sokolova, I. D.; Fedoseev, A. D.; Filatov, A. V. (Inst. Obshch. Neorg. Kim., Moscow, Russia). *Zh. Neorg. Khim.* 1994, 39(3), 398-406 (Russ). The heat capacity of  $\text{Co}_2\text{P}_2\text{O}_7$  at 2-320 K was measured by using an adiabatic calorimeter. An  $\lambda$ -type anomaly was obsd. at 10.5 K and the enthalpy and entropy were detd. The magnetic susceptibility at low temps. shows that the anomaly is due to a second order phase transition, from antiferromagnetic to paramagnetic state. In the temp. interval 295-1040 K, the heat capacity was studied by using ad dsc calorimeter. It is shown that the structural phase transition a-b- $\text{Co}_2\text{P}_2\text{O}_7$  occurs at 528-627 K, with a max. value for the heat capacity at  $574.6 + 1.0$  K at 568-578 K. The heat and entropy of phase transition were detd. and the values show that the structural transition is of order-disorder type. The std. thermodn. functions for the compd. were also detd.

$\rho, T_{\text{c}}$ ,  
 $\Delta_{\text{fz}} H, \Delta_{\text{fz}} S$

C.A. 1994, 121, N4

$\text{Co}_2(\text{OH})\text{PO}_4$

1995

Harrison W.T.A.,  
Vaughey J.T., et al.,  
J. Solid State Chem.,  
1995, 114, N1, p. 151-158

The effect  of pressure  
P.D.X. #24, 1995 24 5260

агапита,  $\text{Co}_2(\text{OH})\text{PO}_4$  и.

$\text{Zn}_2(\text{OH})\text{PO}_4$ : структурно-органическое  
изделие имеет отдаленный  
внешний вид